

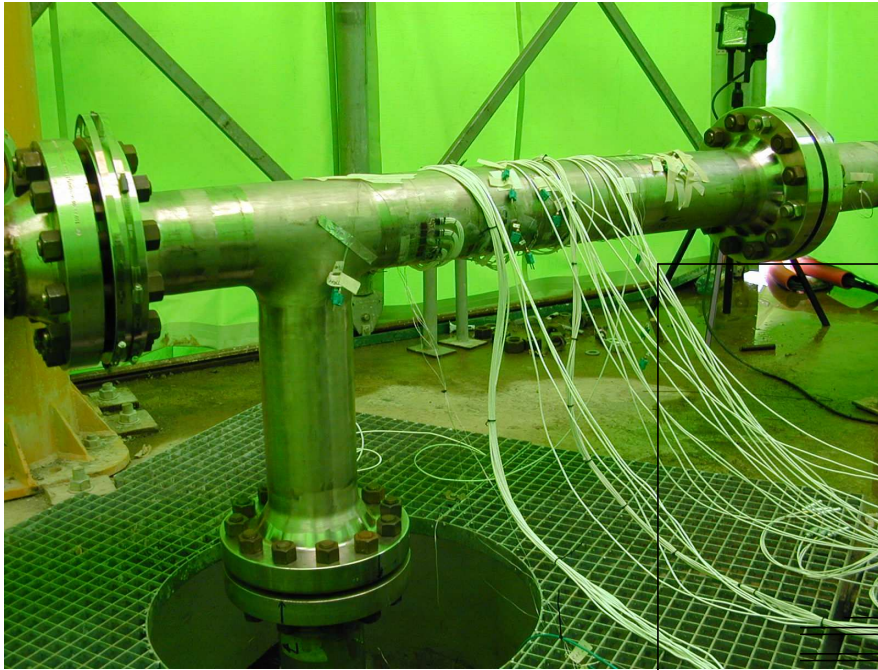
Estimation de flux de chaleur en configuration 2-D

V Sobotka, L Perez, Y Jarny, D Delaunay

Laboratoire de Thermocinétique de Nantes UMR CNRS 6607

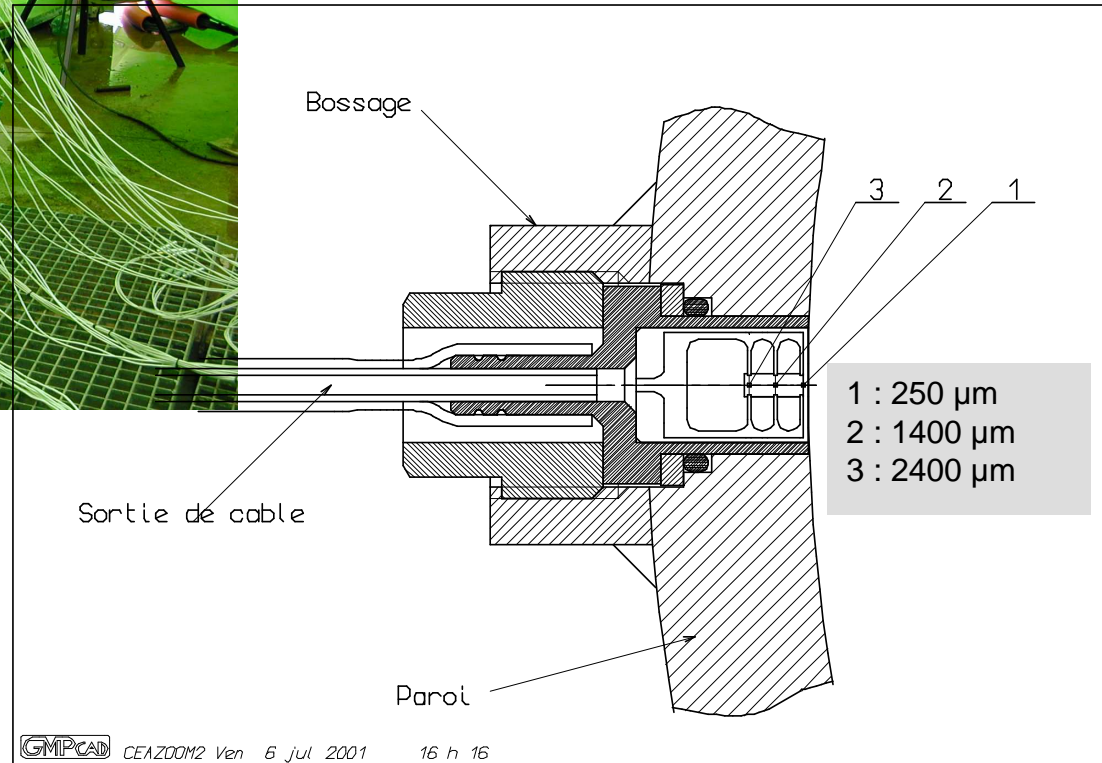
Polytech'Nantes

$\Phi = h(T - T_{\infty})$	Densité de flux	Exemple de Transfert
	10 MW / m^2	Flux d'un faisceau laser focalisé sur une petite surface
$\frac{200}{0.01}(200 - 100)$	2 MW / m^2	Paroi de culasse de moteur (Phase explosion)
15000(150 - 130)	300 kW / m^2	Paroi en aval d'un TE de mélange
$\frac{0.2}{0.005}(175 - 75)$	4 kW / m^2	Paroi d'une cavité moulante dans un moule d'injection
	<1 kW / m^2	Flux solaire
12(75 - 25)	600 W / m^2	Refroidissement par convection naturelle



TE de mélange

Expérience FATHER (CEA)



SFT-27/11/08 - "Mesure des températures et des flux élevés"

Exemple de Cahier des charges du banc d'essai

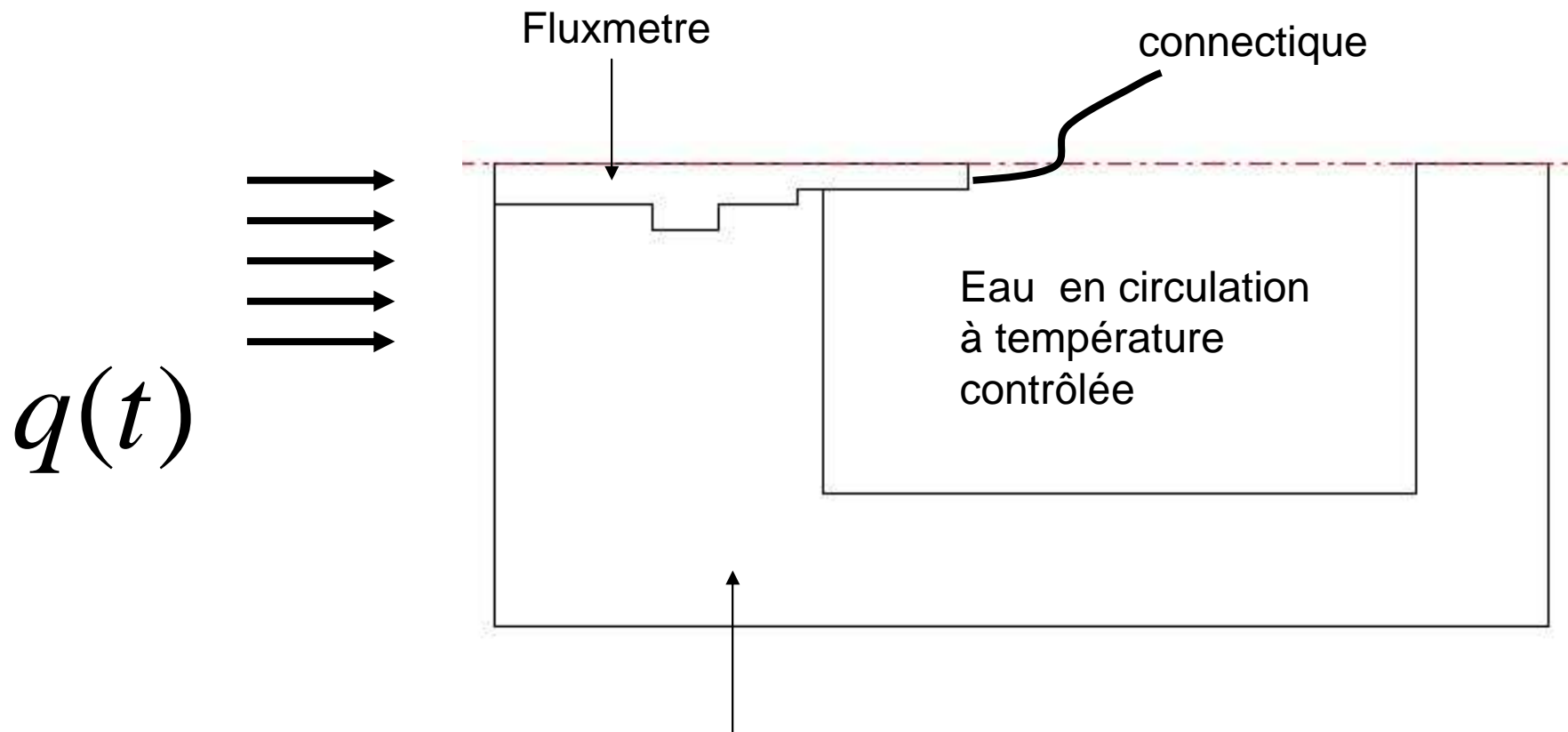
- Capteur « non intrusif »: le corps du fluxmètre est constitué du même matériau que celui de la paroi
- Charge thermique de même intensité que celle du procédé $0-10 \text{ MW} / \text{m}^2$
- « Bande passante »: 25Hz
- Validité de la réponse d'un modèle de conduction 1-D (du type Méthode de Beck)

En régime périodique (milieu semi-infini, diffusivité a),
Le facteur d'atténuation G entre l'amplitude du signal
 u en $x = 0$ et ϕ en $x = x_c$

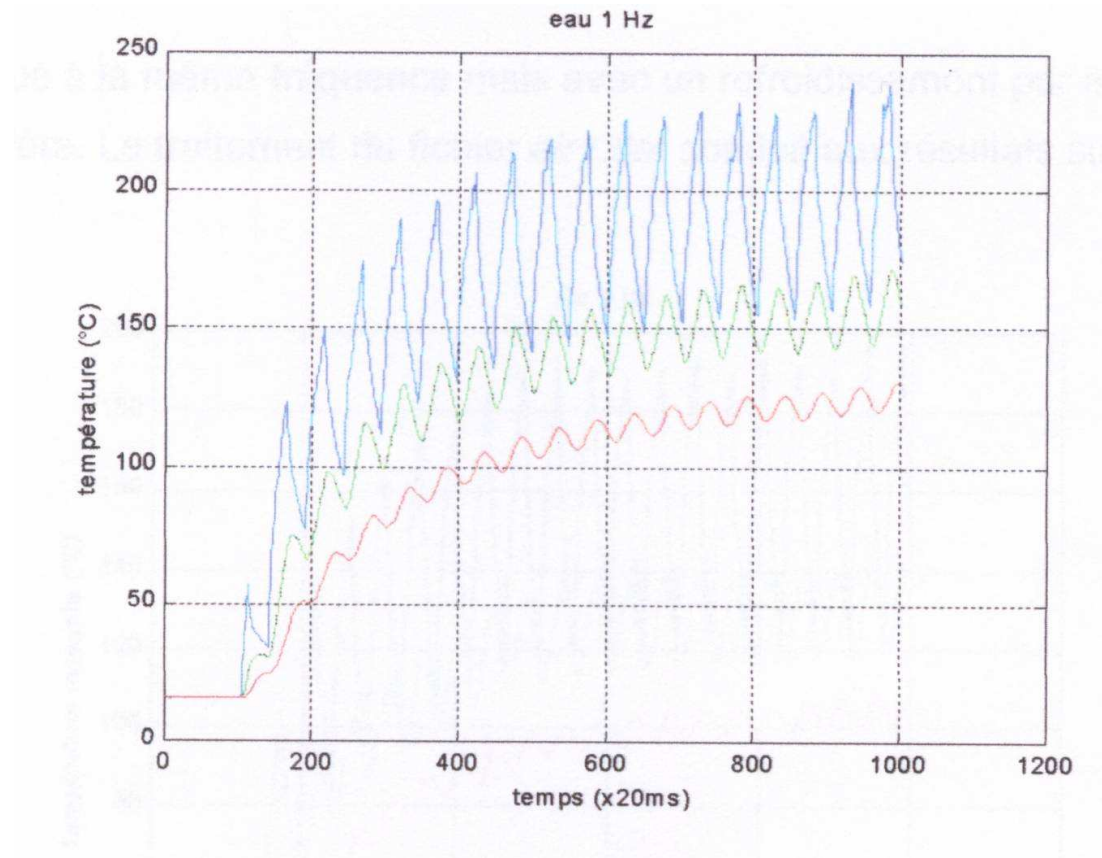
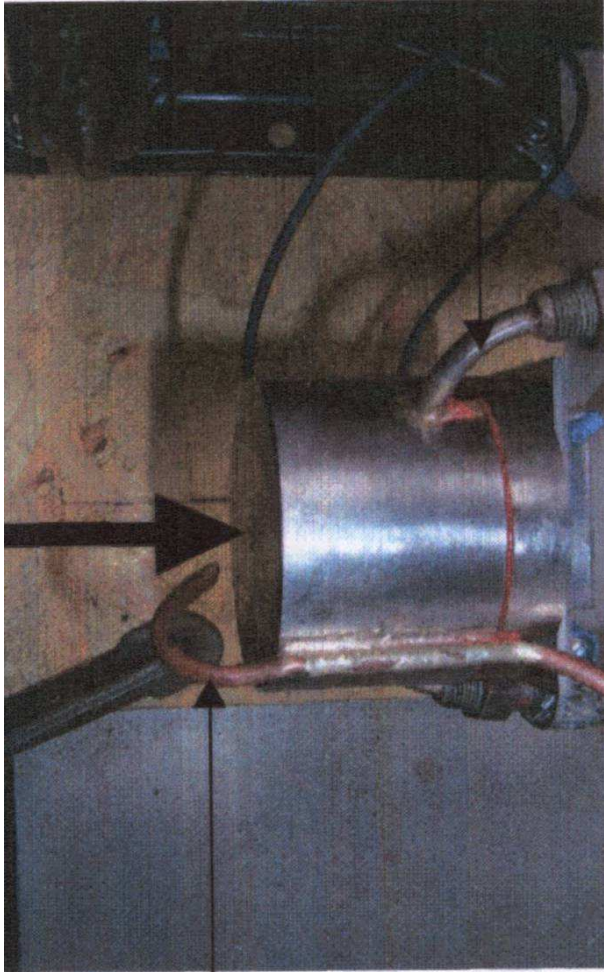
$$G = \frac{|\phi|}{|u|} = e^{-x_c \sqrt{\frac{\pi N}{a}}} \quad G \geq 0.5 \Rightarrow x_c \leq \ln(2) \sqrt{\frac{a}{\pi N}}$$

Exemple du capteur métallique

$$a = 10^{-5} \text{ m}^2 \text{ s}^{-1} \quad \text{et} \quad N = 25 \text{ Hz} \Rightarrow x_c \leq 0.247 \text{ mm}$$

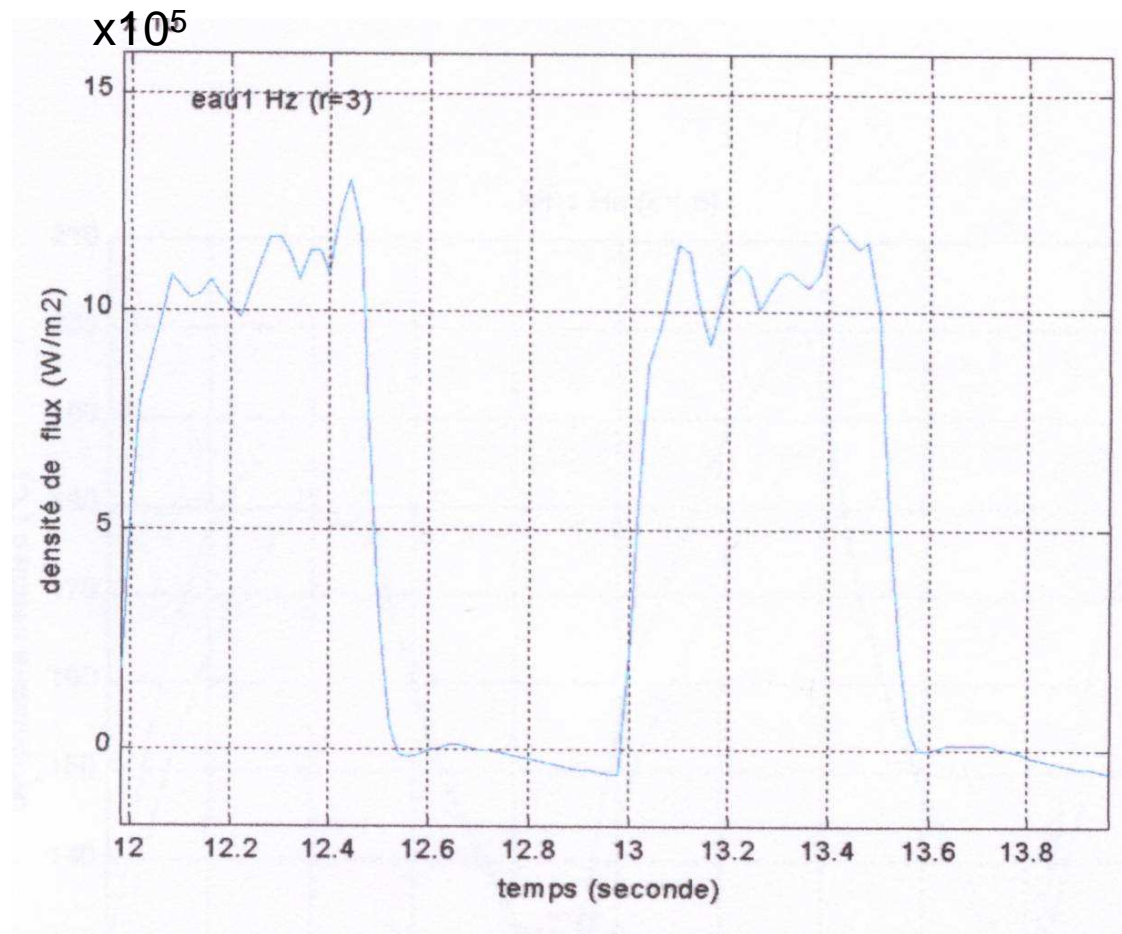


SFT-27/11/08 - "Mesure des températures et des flux élevés"



Réponses à un flux incident périodique
(puissance du faisceau laser à 500W
focalisé sur une zone circulaire $D=1.5\text{cm}$)

SFT-27/11/08 - "Mesure des
températures et des flux élevés"

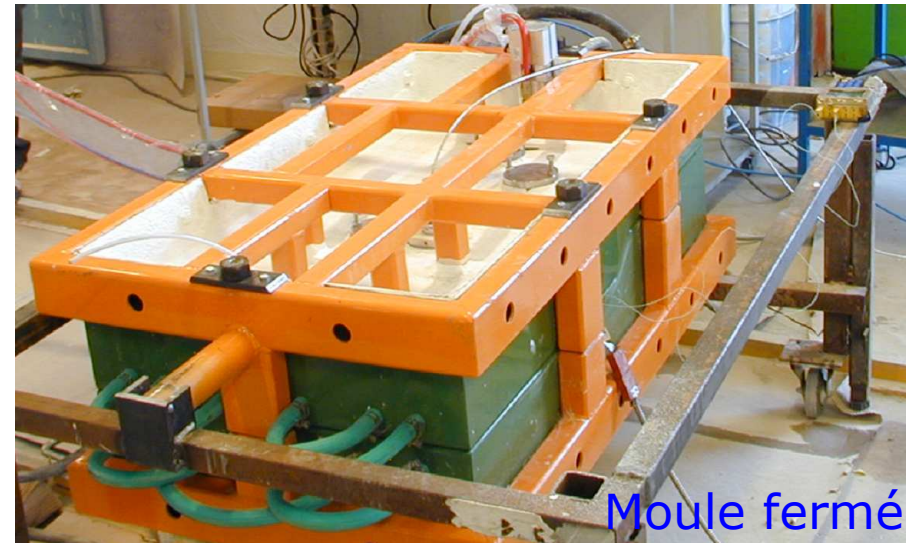
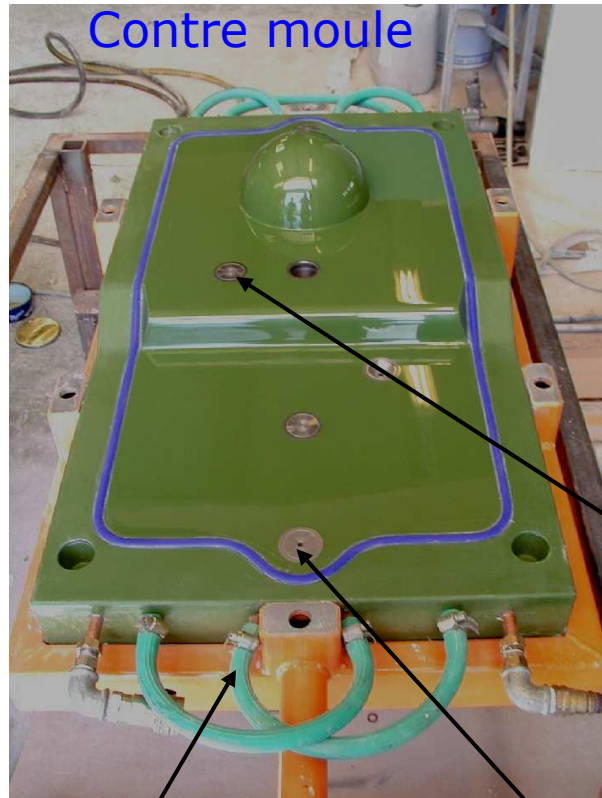


Flux reconstruit avec
l'algorithme 1-D
séquentiel de Beck

dt=20ms

R=3 pas de temps

Moule RTM d'étude instrumenté



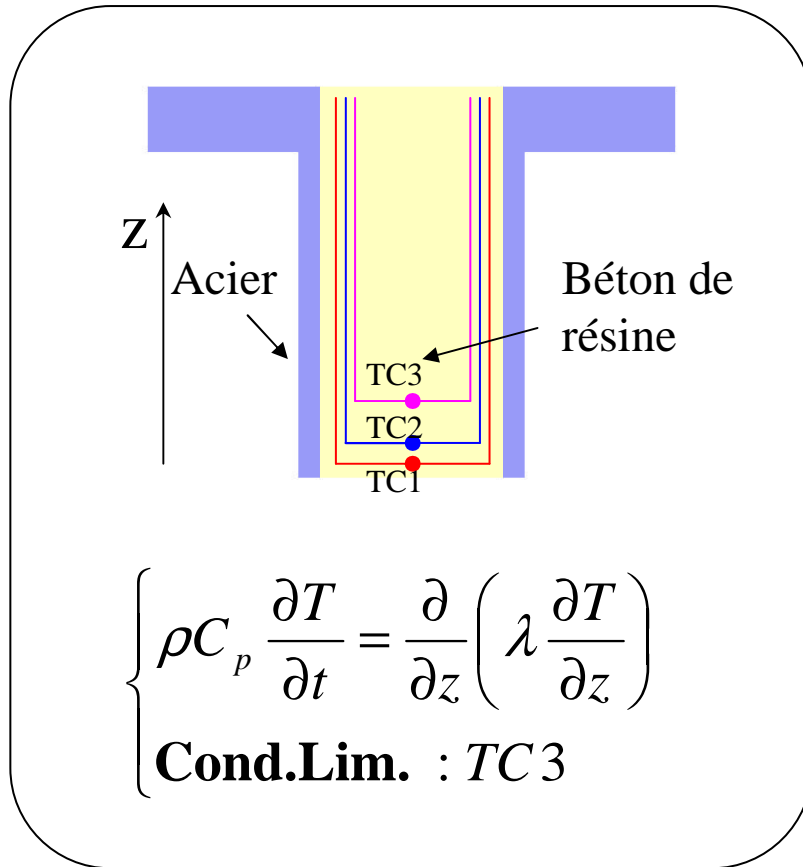
Circuit de régulation thermique

Injection

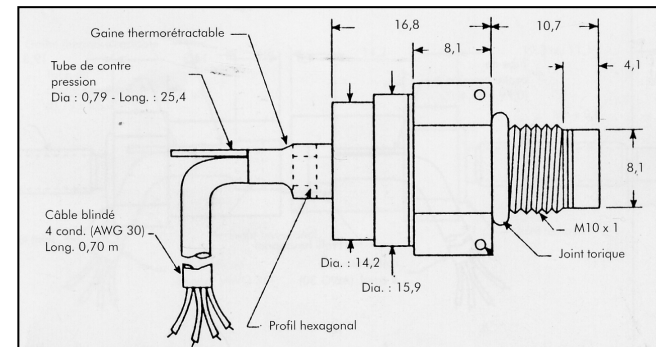
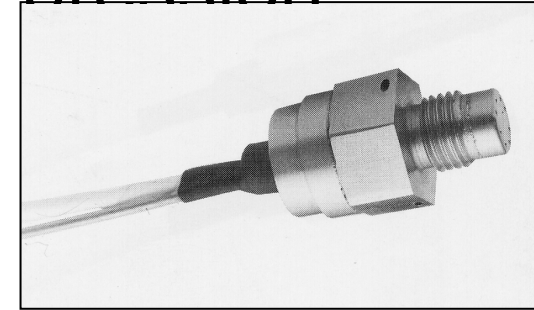
Capteur de flux

Sens de l'écoulement

Capteurs : Flux thermique et pression



Détermination de la température de surface et du flux pariétal par la méthode de Beck (algorithme séquentiel) grâce à l'équation de conduction 1D.



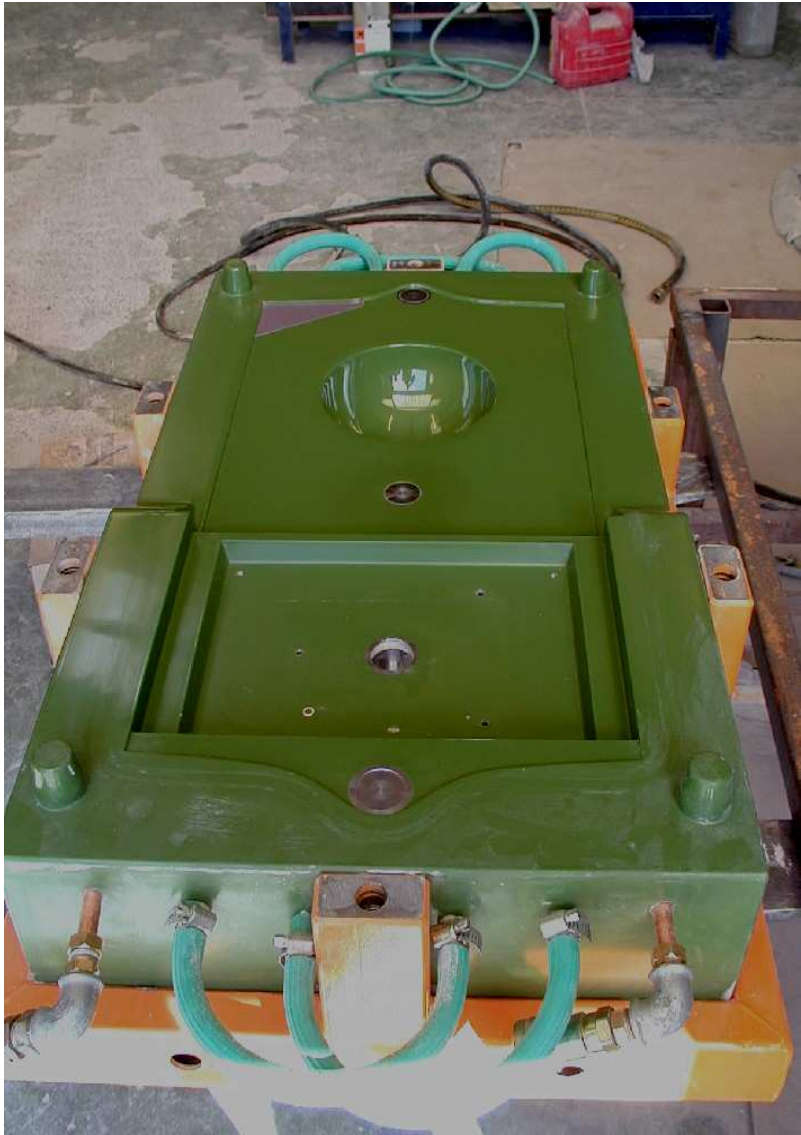
Propriétés du béton de résine :

$\rho = 1380 \text{ kg.m}^{-3}$

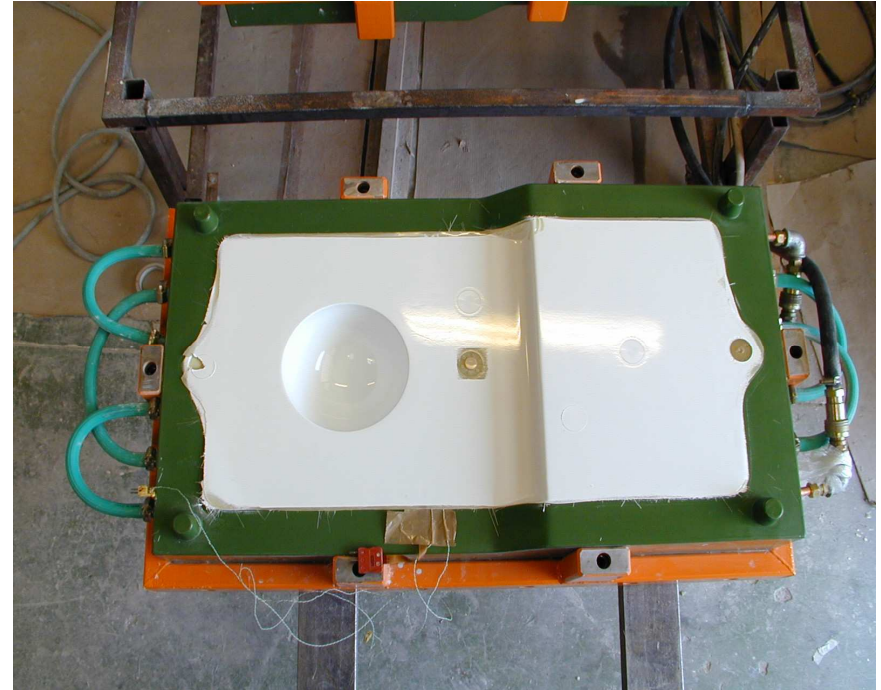
$\lambda = 0.62 \text{ W.m}^{-1}.\text{K}^{-1}$

$C_p = 1230 \text{ J.kg}^{-1}.\text{K}^{-1}$





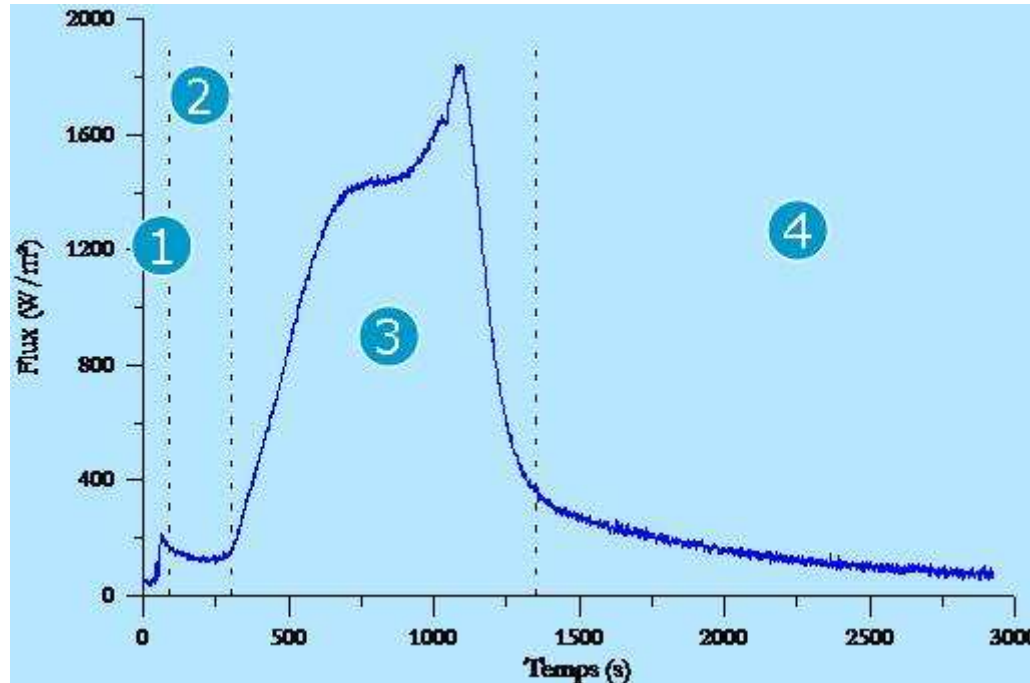
SFT-27/11/08 - "Mesure des températures et des flux élevés"



SFT-27/11/08 - "Mesure des températures et des flux élevés"

Analyse thermique d'un moulage

Températures initiales supposées :
35°C pour la résine et le moule/renfort



- 1 Remplissage du moule
- 2 Mise en équilibre entre le moule et la résine
- 3 Polymérisation de la résine
- 4 Retour à l'équilibre thermique

Matériaux utilisés :

Renfort

Rovicore 450/B5/450
(Chomarat)
Drapage : 1pli / 3.5mm

Résine

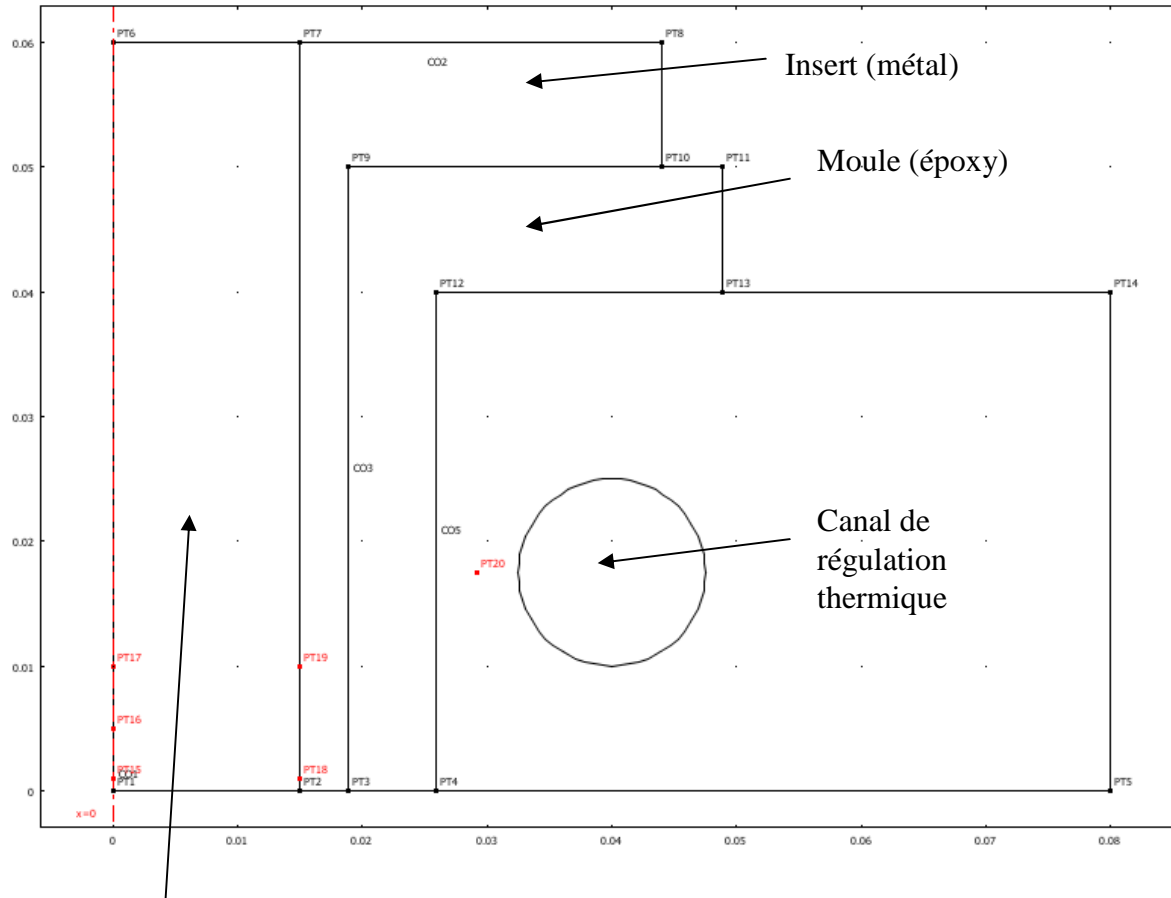
Polyester 15.1.198A
(Cray Valley)

Amorceur

Trigonox 44B : 2pcr
(Akzo Nobel)
Peroxyde d'acétylacetone
Quantité : 2pcr

Catalyseur

Octoate de Cobalt à 6% :
Quantité : 0.4pcr



Analyse des transferts thermiques

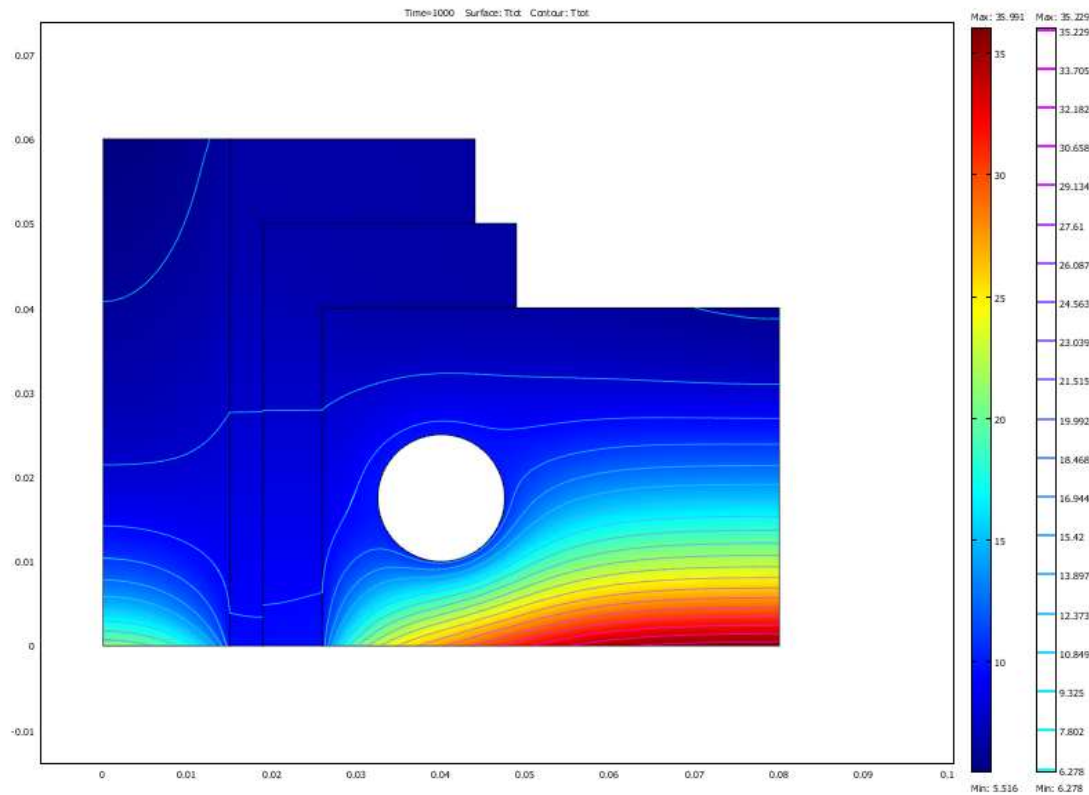
Au voisinage du fluxmètre

En configuration 2-D

Capteur
(époxy)

5 Thermocouples (en rouge) =
 3 sur l'axe de symétrie du bouchon epoxy
 2 à l'interface entre le bouchon époxy et l'insert métallique
 1 dans le moule epoxy entre le canal de régulation et l'insert métallique.

SFT-27/11/08 - "Mesure des températures et des flux élevés"



Résistance de contact
 entre capteur (epoxy)
 et l'insert (métal)
 $RTC = 1/1000 \text{ m}^2 \cdot \text{K/W}$

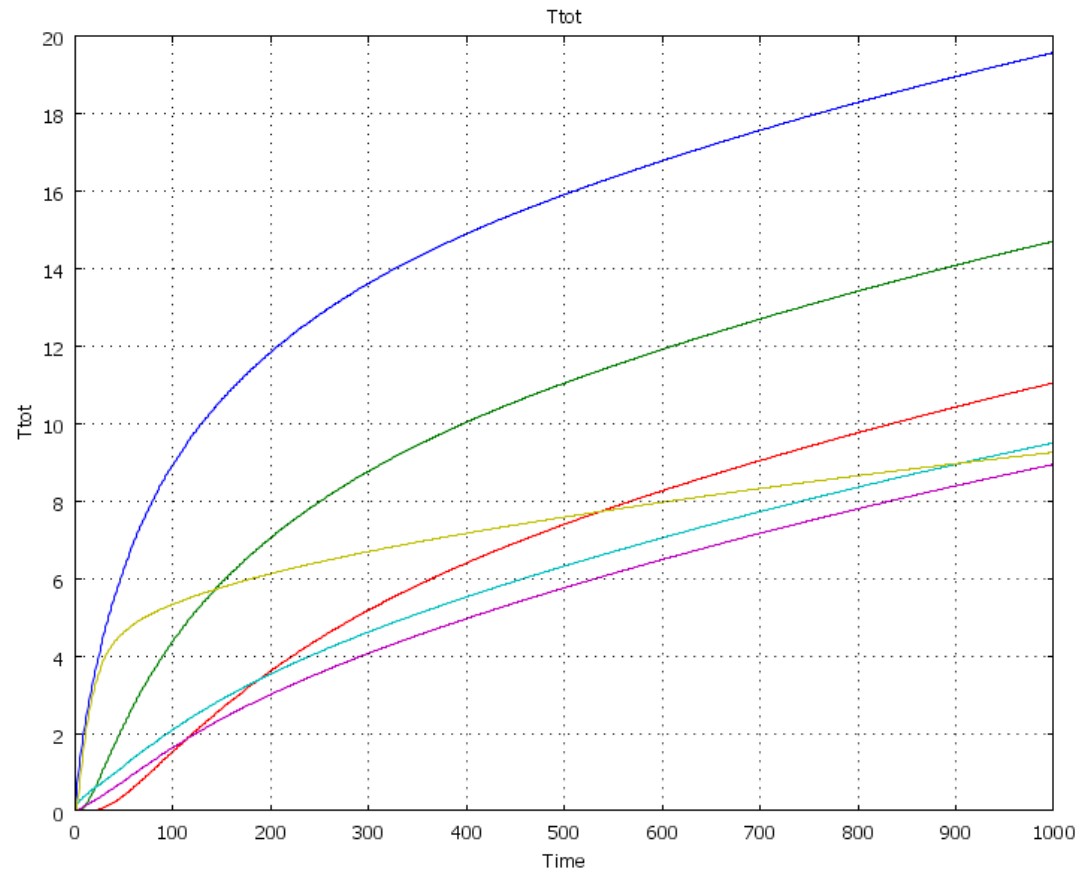
Coefficient d'échange
 dans le canal :
 $h_w = 3000 \text{ W/m}^2 \cdot \text{K}$

Champ thermique à $t = 1000\text{s}$

résultant d'une source pariétale uniforme – face sud : $q = 1000 \text{ W/m}^2$

à l'interface moule/polymère (cavité moulante)

SFT-27/11/08 - "Mesure des
 températures et des flux élevés"



Réponse des 6 thermocouples en régime transitoire à un flux uniforme, constant, sur la face sud

SFT-27/11/08 - "Mesure des températures et des flux élevés"

Estimation du flux en configuration 2-D

Méthode: optimisation d'un critère d'écart avec l'algorithme du Gradient Conjugué

2 étapes:

1.- Estimation du coefficient d'échange h et de la RTC à partir des réponses des 5 thermocouples à un flux connu q (uniforme et constant) à l'interface moule/polymère

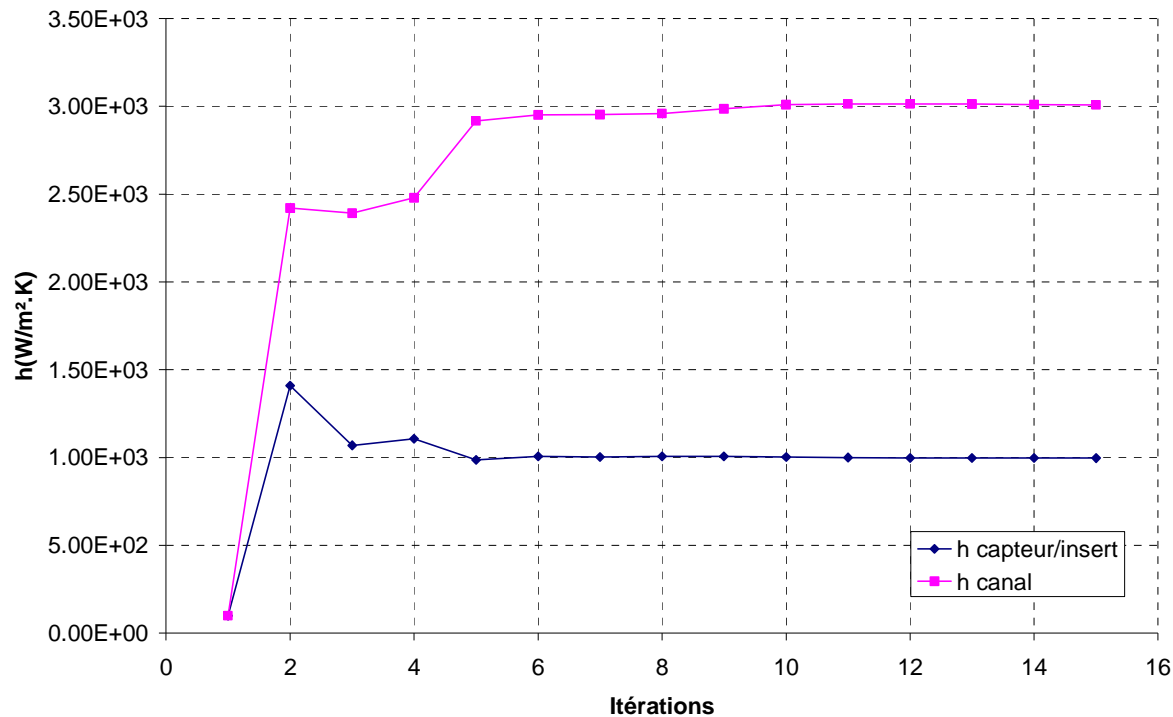
$$J(\beta) = \sum_j \int_0^{t_f} [Y_j(t) - T(x_j, y_j, t; \beta)]^2 dt$$

2.- Connaissant h , RTC , reconstruction du flux $q(t)$ *inconnu* à partir des réponses des 3 thermocouples du bouchon epoxy

$$J(q) = \sum_j \int_0^{t_f} [Y_j(t) - T(x_j, y_j, t; q)]^2 dt$$

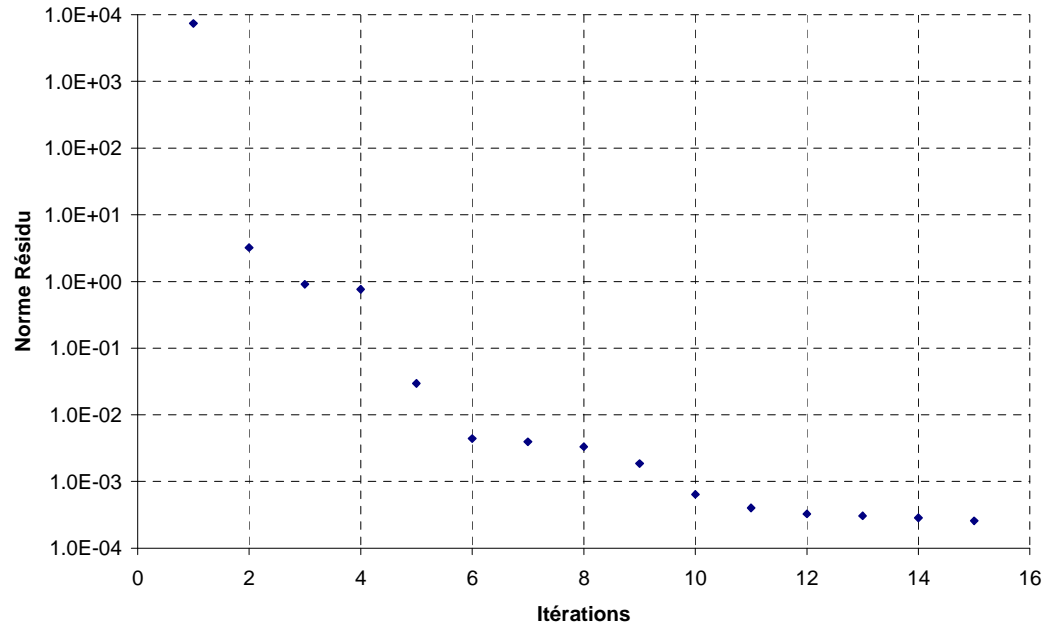
Exemple: estimation des paramètres

$$\beta = \{h_c, h_w\}^t$$



Valeurs exactes: $h_w = 3000W / m^2 K$ $h_c = \frac{1}{RTC} = 1000W / m^2 K$

Exemple 1: estimation des paramètres



Minimisation du
critère d'écart
/itérations

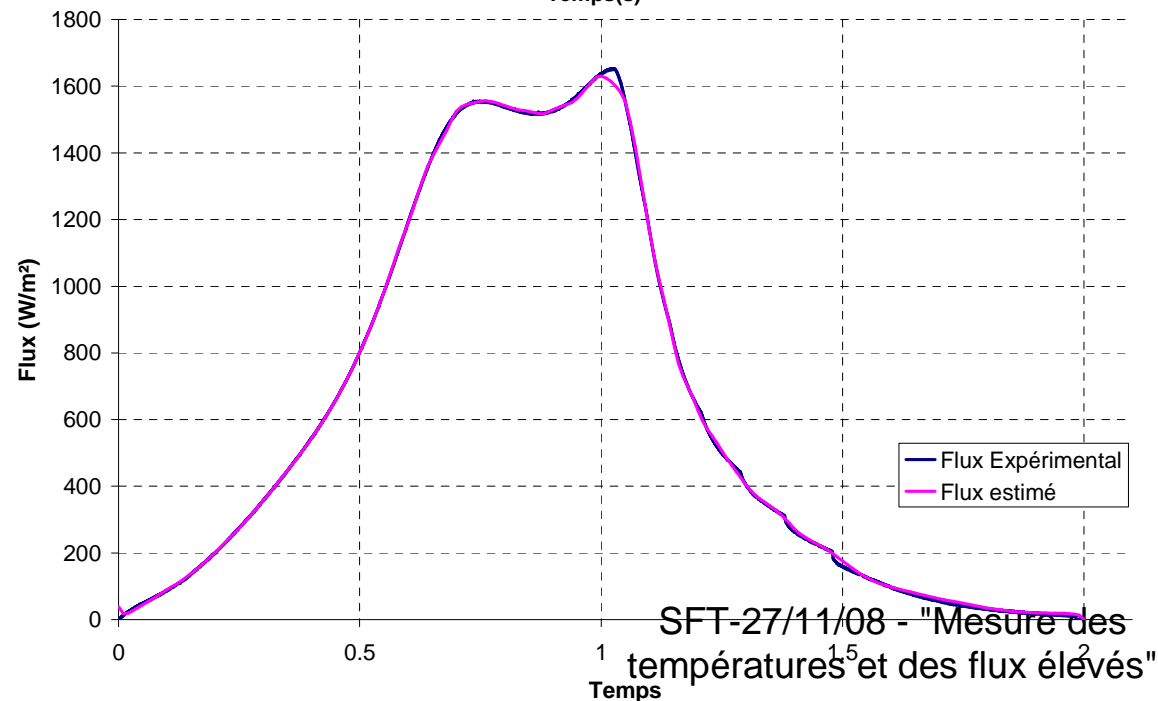
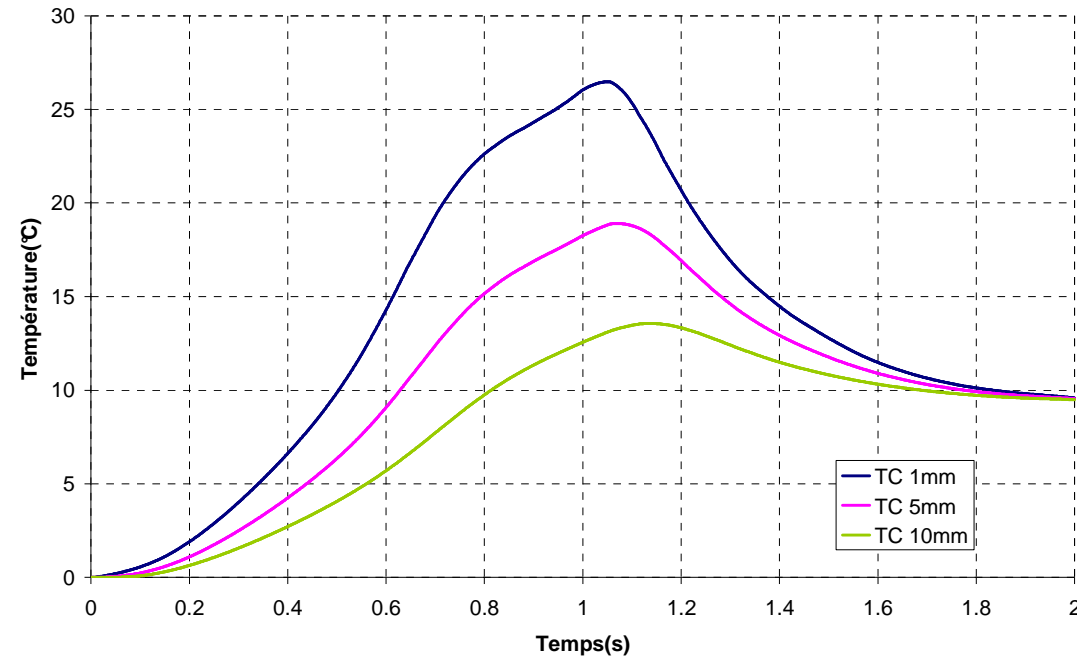
$$\frac{\partial J}{\partial h_c} = \int_{t=0}^{t_f} \int_{\Gamma_7} (\psi_{\Omega_2} - \psi_{\Omega_1})(T_{\Omega_1} - T_{\Omega_2}) d\Gamma dt$$

Composantes du
gradient

$$\frac{\partial J}{\partial h_w} = \int_{t=0}^{t_f} \int_{\Gamma_9} \psi_{\Omega_1} (T_w - T_{\Omega_1}) d\Gamma dt$$

Exemple 2: estimation 2-D du flux

Réponses des 3
thermocouples du
bouchon epoxy (cas
expérimental)

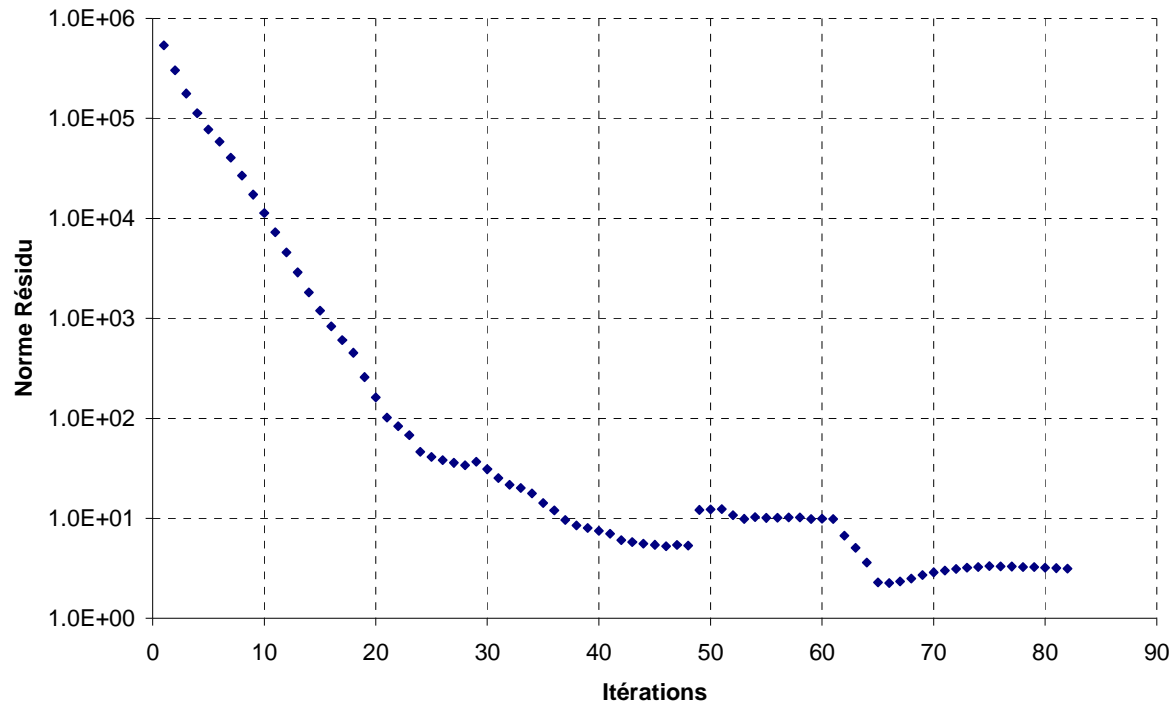


Flux estimé

Algorithme 2-D

SFT-27/11/08 - "Mesure des
températures et des flux élevés"

Exemple 2: estimation 2-D du flux



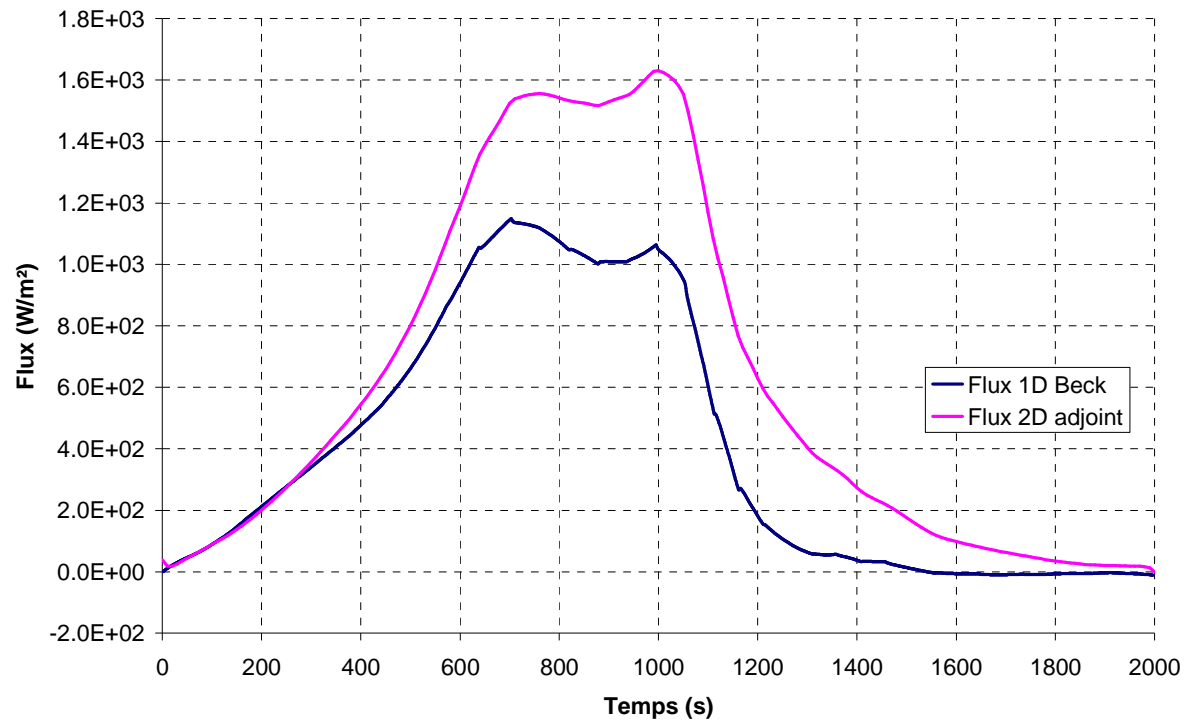
Minimisation du
critère d'écart
/itérations

$$q(t) = \sum_{i=1}^{nt} q_i \sigma_i(t)$$

$$\frac{\partial J}{\partial q_i} = \int_{t=0}^{t_f} \int_{\Gamma_2} \psi_{\Omega_1} \sigma_i(t) d\Gamma dt + \int_{t=0}^{t_f} \int_{\Gamma_3} \psi_{\Omega_2} \sigma_i(t) d\Gamma dt$$

Composantes du
gradient

Exemple 2: estimation du flux



Comparaison des flux estimés

(bleu) : algorithme 1-D

(rose): algorithme 2-D

SFT-27/11/08 - "Mesure des
températures et des flux élevés"

Conclusion

A method for solving the IHCP problem, when heat flow is governed by the 2-D heat conduction equation into a solid body that involves several sub domains with imperfect thermal contacts, was developed.

Following this approach, based on the use of a standard finite element solver, the IHCP problem is solved on arbitrary shaped domains, thanks to the standard joint meshing processors.

For practical purposes, two kinds of problems, strongly connected, have to be solved. The first one, so called identification problem, aims to the determination of unknown parameters in the model equations, especially the thermal contact resistances between the different parts of the body, that perturb the heat flow within the solid. The second one consists in the determination of the time varying heat flux through the boundary.

The solutions of both problems are computed according to the classical conjugate gradient algorithm, developed for spatially 2-D heat flow.